Relação entre índices de vegetação por diferença normalizada (NDVI) e mapas de produtividade na cultura do milho

Pedro Manoel de Carvalho¹ e Helton Aparecido Rosa²

Resumo: A agricultura de precisão vem ganhando cada vez mais espaço na agricultura moderna. A criação de tecnologias permite o produtor a tomar decisões que afetam diretamente a produtividade, por intermédio do sensoriamento remoto e programas de computação, avanços esses que são determinantes na taxa produtiva da propriedade. O objetivo desse trabalho foi recolher mapas de produtividade obtidos por meio da acoplagem de sensores de fluxo de massa na colhedora, relacionando-os com índices de vegetação por diferença normalizada (NDVI). Através da coleta de imagens nas bandas 4 e 8 do satélite Sentinel-2, calculou-se o comportamento espectral da vegetação da área em estudos separados em três meses diferentes. Escolheu-se preferencialmente os estágios fenológicos nas fases vegetativas mais avançadas, já que será possível uma melhor análise pois nesses estágios, as plantas possuem maior quantidade de folhas, mais clorofila e realizam mais fotossíntese. Os raios solares que incidem sobre o dossel, são absorvidos em maior número devido à clorofila, influem em uma maior taxa de reflectância e por isso são mais facilmente captados pelas imagens. Na safra de milho 17/18, foram captadas imagens dos meses de maio, junho e julho procurando analisar diferentes fases fenológicas da cultura. Áreas com baixos valores de NDVI influenciaram em menor nível de produtividade, enquanto que as zonas com maiores valores apresentaram maior produção de grãos por hectare. Isso se deve ao fato de que a clorofila é importante indicador de saúde foliar que resultará em maior rendimento na colheita.

Palavras-chave: comportamento espectral, produtividade, sensoriamento remoto

Relations Between Spectral Signatures and Productivity Maps

Abstract: Precision farming has been gaining more and more space in modern agriculture. The creation of technologies allows the producer to make decisions that directly affect productivity, through remote sensing and computer programs. Advances that are determinant in the productive rate of the property. The objective of this work was to collect productivity maps obtained through the coupling of mass flow sensors in the harvester, relating them to vegetation indexes by normalized difference (NDVI). Through the collection of images in bands 4 and 8 of the Sentinel-2 satellite, the spectral behavior of the area's vegetation is calculated in separate studies in three different months. Phenological stages are preferentially chosen in the more advanced vegetative phases, since a better analysis is possible because in these stages, the plants have more leaves, more chlorophyll and more photosynthesis. The solar rays that fall on the canopy, are absorbed in greater number due to the chlorophyll, influence in a higher rate of reflectance and for this reason they are more easily captured by the images. In the 17/18 corn harvest, images from the months of May, June and July were analyzed, looking for different phenological phases of the crop. Areas with low NDVI values influenced lower levels of productivity, while areas with higher values showed higher grain

¹Acadêmico do curso de Agronomia do Centro Universitário Assis Gurgacz – Pr. Manolo_carvalho@hotmail.com

² Engenheiro Agrícola. Doutorando em Engenharia Agrícola (UNIOESTE). Professor do Curso de Agronomia do Centro Universitário Assis Gurgacz – PR. helton.rosa@hotmail.com

yield per hectare. This is due to the fact that chlorophyll is an important indicator of foliar health that will result in higher harvest yield.

Key words: spectral behavior, productivity, remote sensing.

49 Introdução

Os avanços tecnológicos na área da informática e sensoriamento remoto, levaram à criação de um manejo preciso para as propriedades produtoras de alimentos. Os índices de vegetação captados por meio de imagens de satélite, analisadas pela sua relação de comprimentos de onda e reflectância no vermelho e infravermelho próximo, podem indicar o comportamento espectral do vegetal, prevendo seu potencial produtivo.

Dessa maneira, segundo Veiverberg (2016), é possível prever a produção da safra, facilitando a tomada de decisão do produtor para as safras sequentes ou até mesmo antes da criação do mapa de produção. Facilita-se o manejo do talhão através da observação de pequenas parcelas, analisando cada ponto da propriedade separadamente, fazendo com que a área homogênea, se torne heterogênea.

O mapa de produtividade, captado através de um sensor acoplado à máquina colhedora, permite a coleta de dados de produção de cada ponto do talhão, podendo ser comparada com os índices gerados por programas de computador e imagens de satélite (MOLIN, 2000). Esse mapa define áreas do talhão, produzindo um banco de informações necessárias para a áreas de análise e classificando as regiões por faixas (MARTINS, 2017).

Para a realização das análises subsequentes é necessário a utilização do sensoriamento remoto para obtenção das imagens da área estudada, para uma futura previsão de produtividade, já que obtém a imagem do talhão com suas respectivas amostras espectrais. Segundo Motomya et al. (2012), os dados de sensoriamento remoto em campo podem fornecer informações detalhadas sobre parâmetros biofísicos e fisiológicos ligados à produtividade, apresentando potencial para o monitoramento destes parâmetros ao longo de todo ciclo da cultura.

Para Ponpozi (2002), esta tecnologia permite analisar a evolução fisiológica e biológica das plantas, através do dossel da vegetação, que compreende a formação de toda parte aérea, analisando o comportamento espectral da mesma, possibilitando o cálculo dos índices de vegetação. Através dessa ferramenta em conjunto com as ondas do infravermelho e vermelho visível, calcula-se a atividade fotossintética da planta por meio do pigmento clorofila que absorve os raios solares e as transforma em energia para planta, refletindo o restante da energia excedente para o espaço, captados pelos equipamentos infravermelhos.

Segundo Moraes (2002), qualquer corpo que tenha temperatura acima de 0 graus Kelvin, possui fonte de energia eletromagnética, o que permite sua captação, já que os mesmos absorvem e emitem radiação. Assim, a energia emitida ou recebida, está associada a seu comprimento de onda ou frequência, podendo ser ordenada de maneira contínua. Essa transmitância ordenada pode ser definida como espectro eletromagnético, que dividi e indica o comportamento dos objetos à cada comprimento de onda. No caso das plantas, cada comprimento de onda no espectro, apresentará diferentes níveis de refletância, podendo ser realizada mesmo em comprimentos de onda que o olho humano não é capaz de observar.

Para Lira et al. (2011), a realização dos cálculos de índice de vegetação, é realizada através da diferença do comportamento da vegetação da região do vermelho e infravermelho próximo, já que na região do visível a refletância das folhas é baixa devido a absorção da energia eletromagnética pela clorofila, enquanto na região do infravermelho próximo a reflectância é alta e através dessa diferença é possível analisar a discrepância dos dados obtidos.

Segundo Moreira (2005), a vegetação é caracterizada por uma intensa absorção devido ao pigmento da clorofila na região do vermelho (0,58 a 0,68 μ m) e por intensa refletlância na faixa do infravermelho próximo (0,76 a 1,35 μ m) determinadas pelas estruturas celulares das folhas responsáveis pela fotossíntese, determinado a assinatura espectral da mesma.

Para Borato et al. (2013) os maiores valores de (índice de vegetação por diferença normalizada) NDVI se resume à áreas de vegetação com maior vigor, enquanto os menores valores, representam as áreas de vegetação estressada, menos densas ou até mesmo ausentes. Esses valores matemáticos variam entre -1 e 1. Quanto maior o valor, mais saudável e ativa é a planta, contrariamente, quanto mais próximo de -1, menos sadia é a planta, podendo indicar problemas fitossanitários ou a indisponibilidade de água para realização de processo vitais, bem como o final de ciclo da cultura quando há presença de folhas descoradas.

Para Moreira e Rudorff (2002) o comportamento espectral se resume ao comportamento da refletância de um objeto ao longo do espectro eletromagnético, ou seja, diferencia-se por meio de sua forma, intensidade e localização de cada banda de absorção. Como a pigmentação da clorofila é responsável pela quantidade de energia eletromagnética absorvida ou refletida, a saúde foliar da folha poderia indicar a assinatura espectral desta planta, sob influência de diferentes comprimentos de onda. Assim pode-se constatar que quanto mais saudável e integra uma planta, maior sua atividade fotossintética, destacando sua refletância espectral de plantas danificadas.

O	objet	ivo d	ess	se trabalho	é estudar se	0 0	con	nportame	nto e	spectral o	de faixas	am	ostrais
se relacion	nam	com	a	produção,	observando	se	as	porções	com	maiores	valores	de	NDV
culminara	m en	n maio	ore	s rendime	ntos em t/ha.								

116 Material e Métodos

O presente trabalho foi realizado numa área rural situada no município de Tupãssi-Paraná nas coordenadas 24°42'19.01"S e 53°28'24.52"O. As variedades de milho utilizadas foram a DKB290, P3380 e P4285. Na extensão de 63,33 ha foi iniciado o plantio no dia 15 de fevereiro de 2017. O rendimento total da área foi de 410,5 toneladas.

No dia da colheita, foi acoplado na máquina colhedora, um sensor de fluxo de massa, que por quantidade de grãos obtidos, formou um mapa da área do talhão, com seus respectivos números produtivos.

O mapa de produtividade foi processado no programa farms works, onde foi realizada análise de rendimento seco da lavoura em estudo. Após a adição do mapa, mudou-se o modo de visualização para fazer uma média precisa dos pontos produtivos.

A partir desses parâmetros, comparou-se os níveis dos comportamentos espectrais da vegetação, que foram calculados após a obtenção das imagens do satélite Sentinel-2, com os níveis produtivos de cada ponto do talhão em estudo. Esse satélite foi escolhido pela resolução da imagem de 10m x 10m, facilita a identificação de objetos em uma imagem, inclusive a vegetação (SECO, 2017).

O talhão em estudo foi recortado com base no formato do shapefile da colhedora e em seguida calculou-se os índices de vegetação.

Os cálculos do NDVI foram realizados através da operação que diferencia os níveis de refletância nos intervalos fotocrômicos do vermelho visível (RED) e do infravermelho próximo (NIR) (LEITE et al., 2017).

$NDVI = \underbrace{NIR-RED}_{139}$ NIR+RED

140 Onde: NIR – Reflectância no Infravermelho Próximo (nm)

RED – Reflectância no Vermelho Visível (nm)

Através do cálculo de diferença normalizada desses comprimentos de onda, obteve-se os resultados desejados e a criação de um mapa temático com as legendas de NDVI, que

permitiu o contraste de cores para diferenciação de níveis espectrais de vegetação no espaço geográfico estudado.

Os valores encontrados foram legendados entre intervalos entre 1 e -1 que indicam proporcionalmente o nível de saúde e estágio fenológico da planta, através da captação de seu comportamento espectral, pelo cálculo. Quantos mais próximo de 1 mais sadio é o vegetal (BERTOLIN, 2016).

Após a obtenção dos índices de vegetação que são dados entre 1 e -1, analisa-se os dados produtivos em diferentes coordenadas geográficas. Os pontos com maiores médias de NDVI foram comparados com os rendimentos mais satisfatórios.

Os parâmetros obtidos foram adicionados no modo de impressão para adicionar as coordenadas, legendas e escalas no mapa.

As extensões que representam as classes produtivas foram recortadas e cada uma foi renomeada. A que indica 0 t/ha foi nomeada como classe muito baixa de rendimento. As áreas que apresentavam 4,9 t/ha foram classificadas como baixa, 5,8 t/ha ficou sendo conhecido como médio, 6,5 t/ha alto e 7,9 t/ha muito alto, já que acusa as maiores taxas produtivas.

Para cada classe do mapa de rendimento, calculou-se o NDVI nas determinadas extensões, em todos as imagens de satélite recolhidas. As regiões que possuíram alto rendimento foram recortadas do mapa de produtividade, calculando o comportamento espectral desta área no dia 1 de maio, 10 de junho, 30 de junho e 20 de julho. O mesmo foi feito para as demais classificações produtivas.

Na sequência, para cada delimitação do mapa produtivo, as médias de NDVI de cada pixel da imagem foram calculadas. Cada pixel da imagem 10mx10m obtinha um número de índice de vegetação. Por meio da coleta desses números, observou-se as médias deste índice nas porções dos rendimentos. Os resultados com médias de pixels altas de NDVI devem se relacionar às classes produtoras superiores.

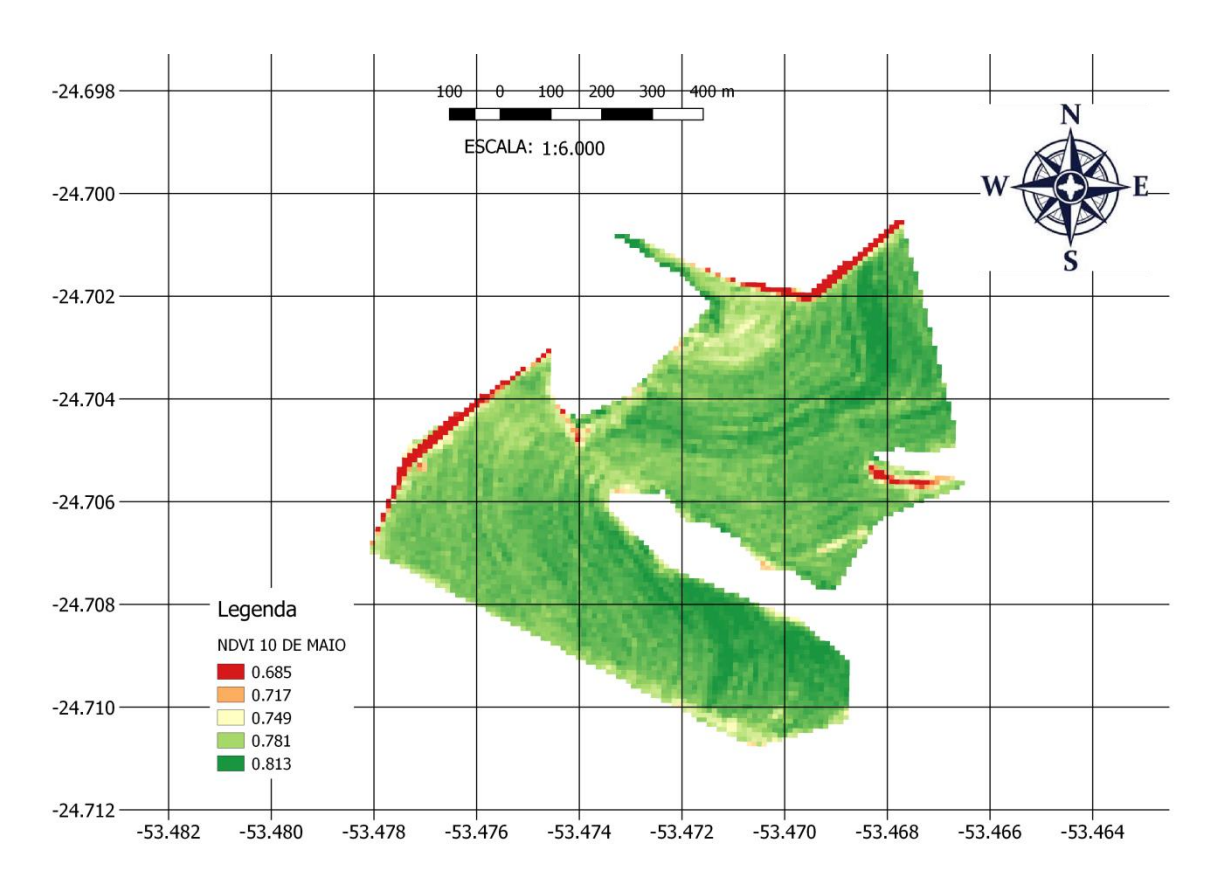
Com auxílio do excel, foi realizada análise de regressão linear entre os dados médios de produtividade para cada faixa e os dados médios de NDVI. A data escolhida para a regressão apresentava estádio fenológico mais avançado em relação às outras, o que facilitou a relação dos dados.

Resultados e Discussão

No dia 1 de maio de 2017, o milho apresentava-se em estádio fenológico avançado e foi realizado a primeira análise espectral da mesma. Os valores de índice de vegetação por diferença normalizada (Figura 1) oscilam entre 0,685 e 0,813, indicando a evolução da cultura no talhão observado. Os valores entre 0,781 e 0,813, podem indicar pontos com maiores

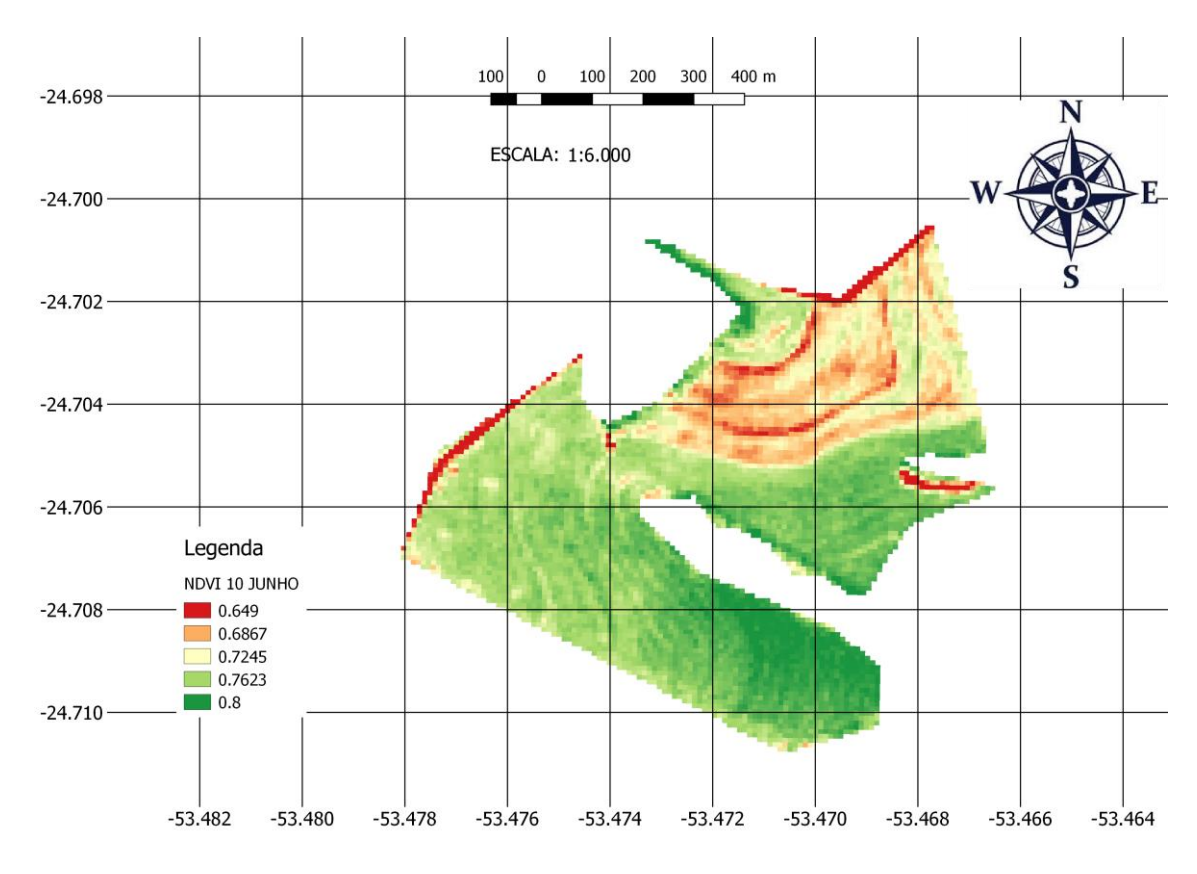
potenciais produtivos. As faixas com tonalidades de verde escuro representam também porções mais saudáveis e com maior porte, saturando o NDVI (SILVA et al., 2009).

Figura 1- Índice por diferença normalizada do talhão em estudo.



Em 10 de junho de 2017 (Figura 2), as amostras variaram ente 0,649 à 0,8. Algumas superfícies das áreas da delimitação apresentaram degradação. Conforme (Centeno, 2016) isso pode ser explicado porque há menor absorção das radiações do vermelho e violeta e menor refletância das ondas da cor verde e dos raios no infravermelho próximo.

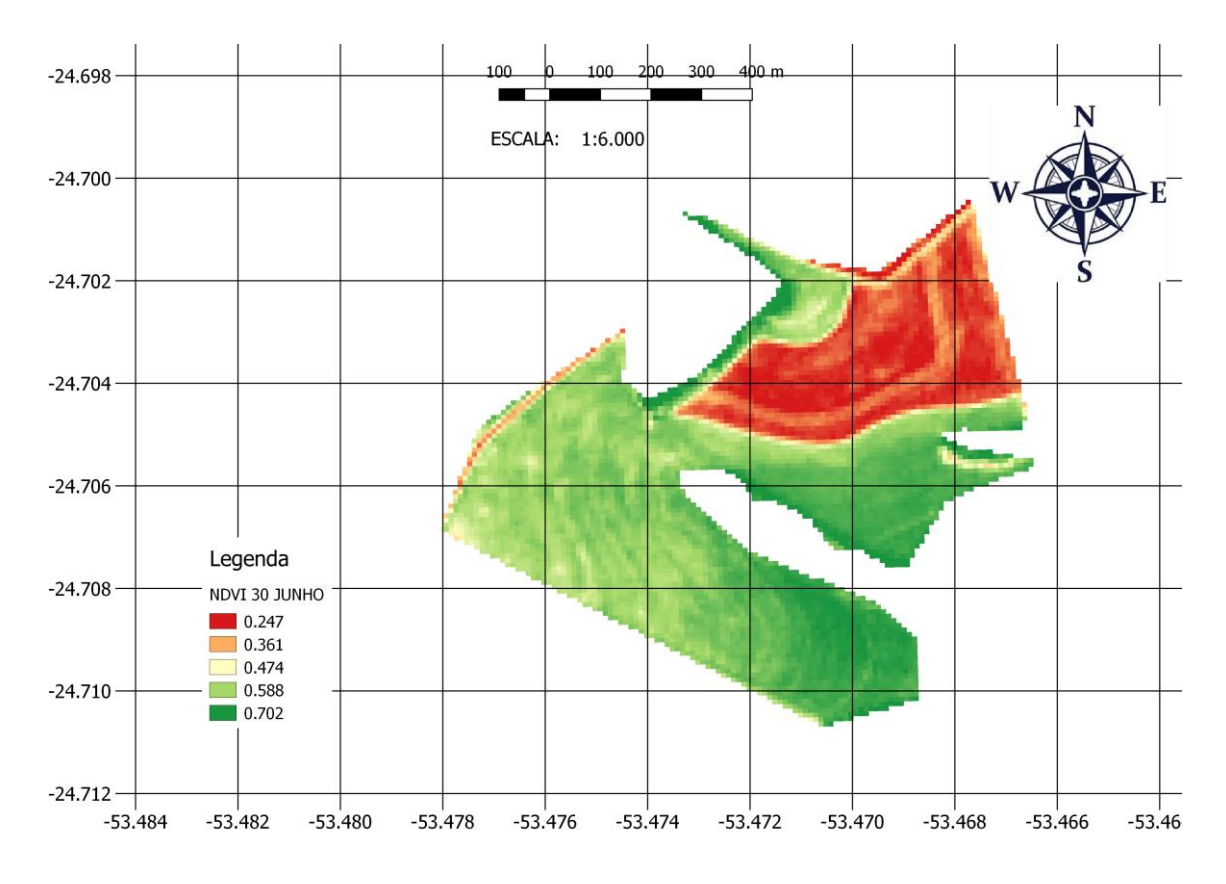
Figura 2- Índice por diferença normalizada do talhão em estudo.



Em 30 de junho de 2017 (Figura 3) a imagem acusa que os pontos danificados continuaram o processo de degradação apresentando valores de NDVI de 0,247. Para Rodrigues (2015), as extensões com medidas abaixo ou igual a 0,3 apontam representação baixa de biomassa e também indica solo exposto. As médias de 0,5 acusa sanidade vulnerável e acima ou igual 0,7 simula alta taxa de vegetação.

O período que representa o final do crescimento vegetativo, floração e formação de grãos representou valores de NDVI de 0,7. O início da senescência e maturação fisiológica se situa na faixa de 0,2 e 0,4 (BARIANI et al., 2015). Em relação ao mapa anterior do dia 10 de junho, as extensões deterioradas representavam índice de 0,649 à 0,7245, que 20 dias após apresentaram valores de 0,247 à 0,474, destacando porções que aumentaram níveis de senescência.

_ _ _

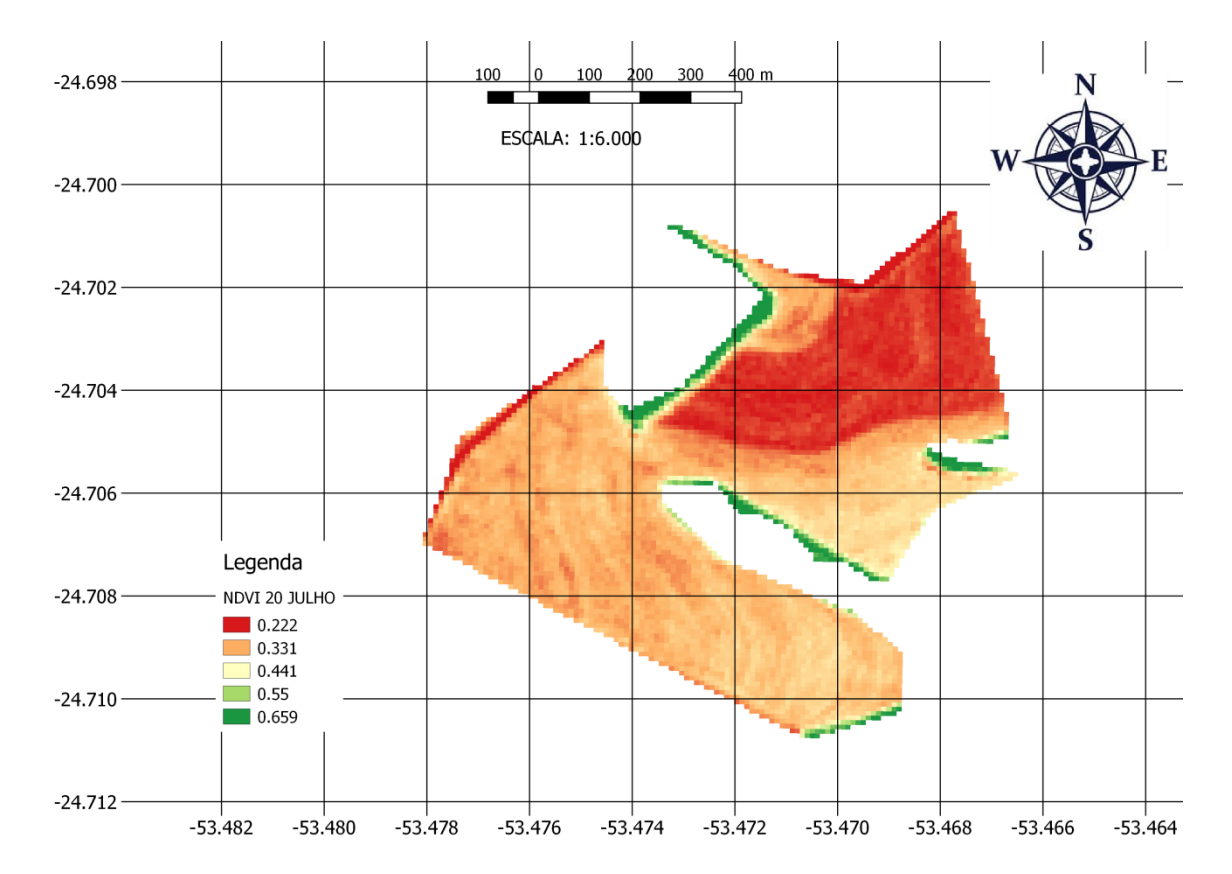


A análise do dia 20 de julho (Figura 4), indica que a cultura do milho encontrava-se em fase final do ciclo, em momento que antecedia à colheita que foi realizada entre os dias 31 de julho e 8 de agosto de 2017. As taxas variaram entre 0,222 e 0,441. As áreas verdes representam as reservas florestais ao redor da propriedade, concluindo que dentro do talhão estudado, os níveis variam entre 0,222 e 0,441.

Os números menores indicam possivelmente localidades deterioradas durante o ciclo e apontam maior presença de solo, já que as plantas não desenvolveram folhas e porte suficiente durante o ciclo. Não houve fechamento do dossel que seria o conjunto da parte aérea de uma vegetação (SILVA e FIORESI 2015).

As zonas com maiores valores diminuíram em relação à imagem interior, pois se aproximam à fase final e estão constantemente diminuindo a taxa de absorção. A medida que a cultura se desenvolve, a quantidade de pigmentos tende à reduzir, apresentando assinaturas espectrais maiores na fase vegetativa e menores na fase reprodutiva (KUIAWSKI et al., 2017).

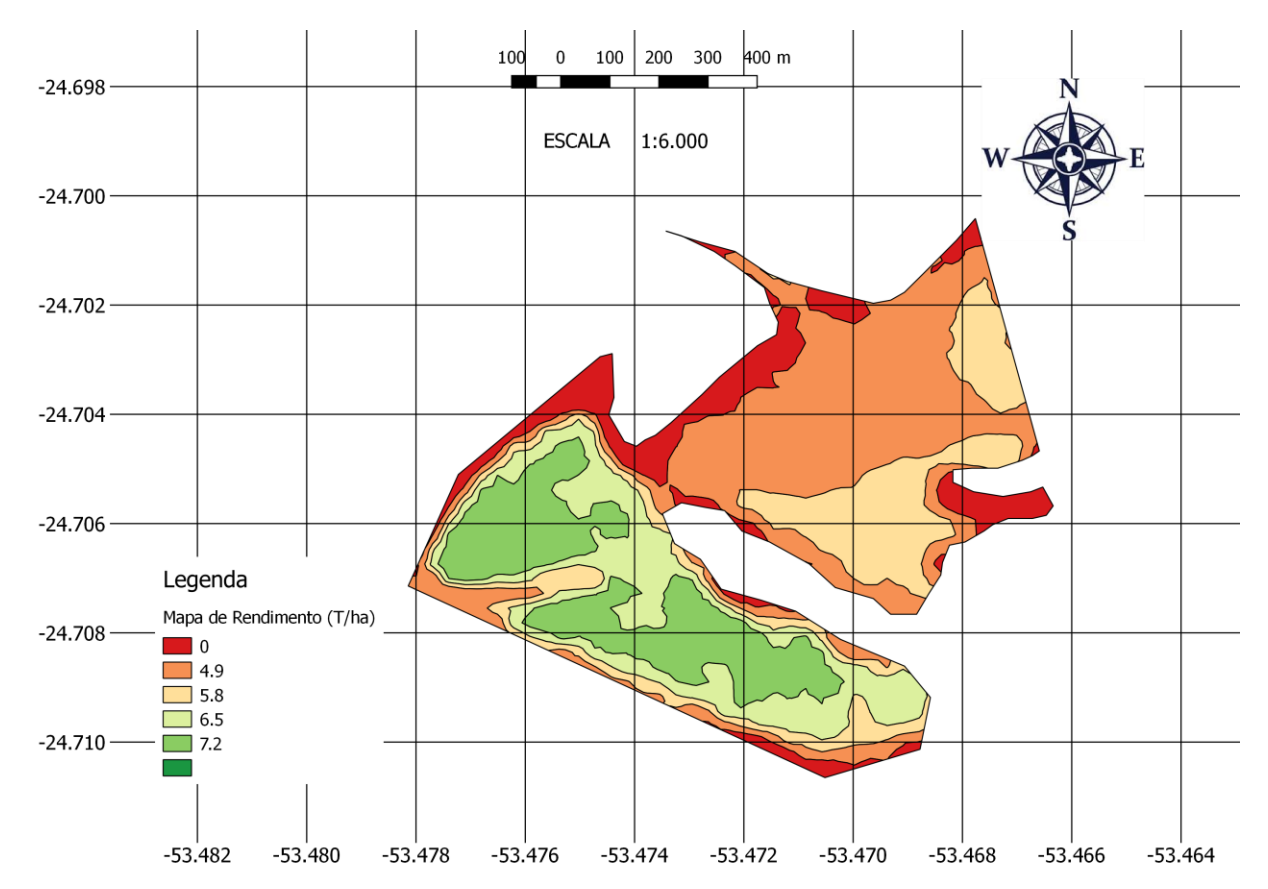
Figura 4- Índice por diferença normalizada do talhão em estudo.



O rendimento seco do talhão é suavizado para gerar médias de pontos produtivos. Os valores de produtividade são gerados em toneladas por hectare. O valor mais baixo é zero pois existem áreas de reserva, que não foram colhidas. Os pontos extraídos variaram entes 4,9 e 7,2 toneladas por hectare (Figura 5). Os espaços que possuem tonalidades verdes indicam maior produtividade e os pontos vermelhos apresentam baixos resultados.

Na hora da colheita, conforme a colhedora segue o caminho, o sistema de GPS indica a posição da mesma e das áreas já extraídas. Neste sentido, a máquina analisa os dados de rendimento por pontos que representa uma pequena amostra da lavoura. O dado mais relevante é a quantidade e peso de grãos obtidos através do sistema de fluxo de massa que acusa esses valores por hectare colhidos em cada ponto do talhão e é necessário para conhecer a posição espacial e a produtividade deste ponto (BARATO, 2014). Este procedimento gera o rendimento seco do talhão, indicando a quantidade de grãos em t/ha para cada amostra espacial colhida.

Figura 5- Rendimento suavizado.



Para correlacionar os índices de produtividade com os de vegetação por diferença normalizada, as faixas de rendimento na colheita foram separadas entre: muito baixa, baixa, média, alta e muito alta. Para cada porção recortada foi realizado o cálculo de NDVI para as quatro imagens, procurando quantificar os níveis espectrais por pixels da imagem, com o intuito de criar uma regressão linear para confirmar as relações entre os dados.

A Tabela 1 indica as classificações produtivas e os respetivos valores de médias de NDVI para cada subclasse do mapa de rendimento, computado no mês de junho no dia 30.

Tabela 1 - Valores médios de NDVI por classe para a data de 30/06/2017.

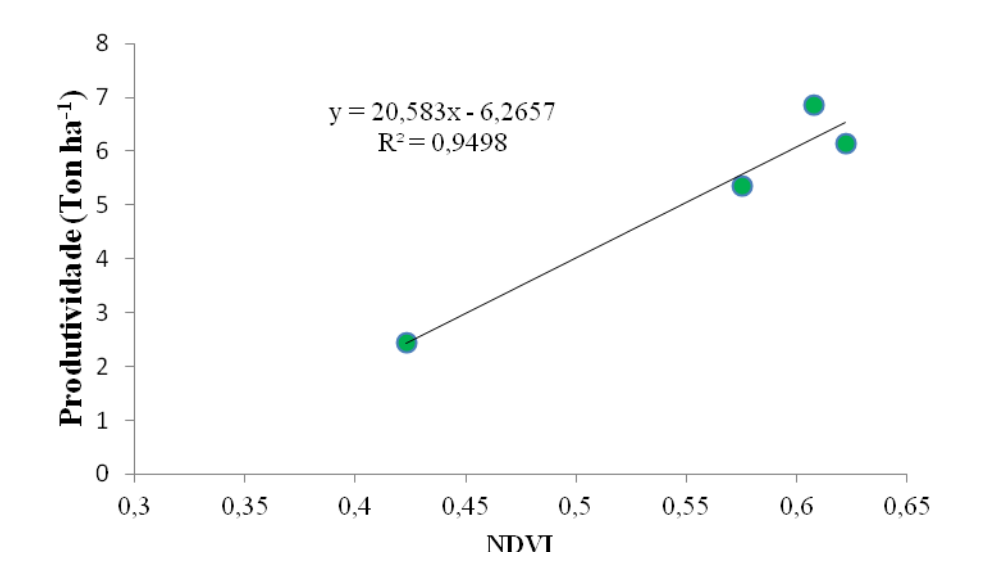
Classe	Muito Baixo	Baixo	Médio	Alto	Muito Alto
NDVI médio	0,561	0,423	0,575	0,622	0,608

As médias dos pixels contendo valores muito altos de NDVI são comparados com as porções de maior rendimento (7,2 t/ha). Os valores altos de índice de vegetação foram relacionadas com a classe alta do mapa de rendimento. Os índices médios relacionaram-se com zonas de 5,8 t/ha. Baixas taxas de NDVI compara-se com áreas de 4,9

t/ha e valor nulo de produtividade relacionou-se com médias muito baixa de absorção e refletância.

Na Figura 6 apresenta-se a análise de regressão linear simples entre os dados médios de NDVI (data 30/06) e a produtividade média de milho na área do estudo. Verifica-se que o ajuste possui um $R^2 = 0.94$, o que indica que em aproximadamente 94% os dados de produtividade são explicados pelo valor do NDVI médio dessa imagem (RODRIGUES, 2015).

Figura 6 - Regressão linear simples entre os dados médias de NDVI (data 30/06) e a produtividade média do milho.



A imagem do dia 30 de junho representava a cultura do milho em estádio antecedendo a senescência e, devido seus valores, e foi o que mais realçou a relação entre NDVI e rendimento, justificando seu uso para a equação de regressão.

Observa-se que valores da faixa muito baixo foram recortados da regressão pelo motivo de que nos aos redores desta há presença de mato, que significa que a máquina não recolheu estas extensões e iriam acarretar em confusões nos dados.

O GPS acoplado à máquina colhedora apresentou erros de posição explicando o fato de que não houve rendimento nas áreas de mata ciliar. Devido ao processo de automação dos aparelhos no procedimento de obtenção dos dados de rendimento, há ocorrência de erros de posicionamento, que culminam em dados de produtividade improvavelmente altos e baixas, cálculo de incorreto da largura da plataforma, distância dos pontos não coincidentes (MENEGATTI e MOLIN, 2004).

314	Dessa maneira, foi possível observar somente as áreas de interesse, que foram as
315	parcelas realmente colhidas, gerando dados proporcionais de produção e índices de vegetação.
316	
317	Conclusões
318	Áreas com baixos valores de NDVI influenciaram em menor nível de produtividade,
319	enquanto que as zonas com maiores valores apresentaram maior produção de grãos por
320	hectare. Isso se deve ao fato de que a clorofila é importante indicador de saúde foliar que
321	resultará em maior rendimento na colheita.
322	O índice de vegetação por diferença normalizada é uma ferramenta importante de
323	previsão produtiva. O mapa de rendimento pode ser um fator necessário para uma
324	comparação concreta entre os índices de vegetação e as taxas produtivas.
325	
326	
327	Referências
328	BARATO, M.A. Definição de zonas de manejo em lavouras agícolas a partir de mapas de
329	produtividade : estudo de caso. 2014. 70 f. Disserteação mestado – UFSM, Santa Maria RS,
330	2014.
331	
332	BARIANI, C.J.M.V; FELICE, R.D; BARIANI, N.M.V. et al. Sensoriamento remoto de
333	estádios fenológicos de culturas agrícolas irrigadas utilizando NDVI. 2015. 1-2 f. UFP,
334	Itaqui, RS.
335	
336	BERTOLIN, N.O. Predição da produtividade de milho irrigado com auxílio de imagens
337	de satélite. 2016. 27 f. Trabalho de conclusão de curso. Universidade federal de viçosa.
338	Viçosa, Minas Gerais.
339 340	BORATTO, I.M.P, GOMIDE, R.L. Aplicação dos Índices de Vegetação NDVI, SAVI e IAF
341	na Caracterização da Cobertura Vegetativa da Região Norte de Minas Gerais. Anais XVI
342	Simpósio Brasileiro de Sensoriamento Remoto - SBSR, Foz do Iguaçu, PR, Brasil, 13 a 18 de
343	abril de 2013, INPE
344	aoin de 2015, ha L
345	CENTENO, J.A.S. Sensoriamento remoto 1. 2016. 52 f. Aula. UFPR 2016.
346	
347	KUIAWSKI, A.C.M.B; SAFANELLI, J.L; BOTTEGA, E.L; NETO A.M.O; GUERRA,N.
348	Vegetation indexes and delineation of management zones for soybean. Pesquisa
349	Agropecuária Tropical, Goiânia, v. 47, n. 2, p. 168-177, abril./Jun. 2017.
350	
351	LEITE, A.P; SANTOS, G.R; SANTOS, J.E.O . Análise Temporal dos Índices de Vegetação
352	NDVI e SAVI na Estação Experimental, de Itatinga Utilizando Imagens Landsat 8. Revista
353	Brasileira de Energia Renováveis, 1-18. 2°trimestre de 2017.
354	TIDA WAN GUMA DE NEGO LE AGENERO CAM ERANGO E GAN ' ~
355	LIRA, V.M.; SILVA, B.B; NETO, J.D; AZEVEDO, C.A.V; FRANCO, E.S. Variação sazonal
356 357	da cobertura vegetal em áreas do submédio São Francisco a partir de dados NDVI e imagens landsat- 5. Encliclopédia Biosfera , Campina Grande, UFCG, vol.7, n.12; 2011.
JJ 1	randsat- 5. Enenciopedia Diostera, Campina Orande, OTCO, VII./, 11.12, 2011.

- 359 MARTINS, R.C. Definição de Zonas de Manejo por Índices de Vegetação Obtidos por
- 360 Sensoriamente Remoto e Mapas de Produtividade. 61f.Dissertação de mestrado-Santa
- 361 Maria, RS, 2017.

362

- 363 MENEGATTI, L.A.A.; MOLIN, J. Remoção de erros em mapas de produtividade via
- 364 filtragem de dados brutos. Revista Brasileira de Engenharia Agrícola e Ambiental, v.8,
- 365 n.1, p.126-134, 2004.

366

- 367 MOLIN, J.P. Geração e Interpretação de Mapa de Produtividade para Agricultura de
- 368 **Precisão.** Agricultura de Precisão. Viçosa. Universidade Federal de Viçoza, 2000.

369

- 370 MORAES, E.C. Instituto Nacional de Pesquisas Espaciais INPE: Fundamentos de
- 371 **Sensoriamento Remoto.** São José dos Campos, 2002.

372

- 373 MOREIRA, M. A. Fundamentos do sensoriamento remoto e metodologias de aplicação.
- 374 3ªedição. 2005. Editora UFV.320p.

375

- 376 MOREIRA, M.A e RUDORFF, B.F.T. Instituto Nacional de Pesquisas Espaciais INPE:
- **Fundamentos de Sensoriamento Remoto aplicado à agricultura.** São José dos Campos,
- 378 2002.

379

- 380 MOTOMYIA, A.V.A; MOLIN.J.P; MOTMOYIA.W.R; BAIO,F.H. Mapeamento de Índice
- 381 de Vegetação da Diferença Normalizada em Lavoura de Algodão. Pesquisa agropecuária
- 382 **tropical**, Goiânia, v. 42, n. 1, p. 112-118, jan./mar. 2012

383

- 384 PONPOZI, F.J. Instituto Nacional de Pesquisas Espaciais INPE: Fundamentos do
- 385 **Sensoriamento Remoto Diagnosticando a Mata Atlântica.** São José dos Campos, 2002.

386

- 387 RODRIGUES, L.H. Regressão Linear Simples Capítulo 16, **Estatística Básica**
- 388 (**Bussab&Morettin, 8a Edição**) **10a AULA** 18/05/2015 MAE229 Ano letivo 2015.

389

- 390 RODRIGUES, M e RODRIGUES, B. Aplicação do índice da vegetação por diferença
- 391 normalizada (NDVI) em imagens CBERS 2B no município de BOTUCATU-SP. BioEng,
- 392 Tupã, v.6 n.3, p. 139-147, Set/Dez., 2012.

393

- 394 SECO, M.A.P.O. Comportamento espectral de plantas comoFerramenta de
- 395 determinação metodológica para monitoramento de espécies invasoras. Tese de
- 396 doutorado. UEM, Maringá, 2017.

397

- 398 SILVA, C.A.V. Uso do Sensoriamento Remoto através de Índices de Vegetação NDVI,
- 399 SAVI e IAF na microrregião de Itamaracá PE. Anais XIV Simpósio Brasileiro de
- Sensoriamento Remoto, Natal, Brasil, 25-30 abril 2009, INPE, p. 3079-3085.

401

- 402 SILVA, D.A.A.; FIORESI, D. Perfil de NDVI em estádios de Desenvolvimento de soja em
- 403 função de diferentes plantas. Centro científico conhecer. Enciclopédia Biosfera, Goiânia,
- 404 v.11, n22, P. 2340, 2015.

- 406 VEIVERBERG, K.T. Delineamento de Zonas Potenciais Para manejo Diferenciado em
- 407 **Nivel de Talhão a Partir de Colheita e de Imagens de Satélite**. 2016. 55f. Dissertação de
- 408 mestrado. Pós graduação em Agricultura de Precisão. Santa Maria, RS, 2016.